

# استراق سمع فعال با کمک UAV برای بهبود امنیت شبکه‌های مخابرات مشارکتی

سمانه دزفولی‌زاده<sup>۱</sup> زهرا مبینی<sup>۲</sup>

۱- دانش آموخته کارشناسی ارشد- دانشکده فنی و مهندسی، دانشگاه شهرکرد، شهرکرد، ایران  
[samane.d1371@gmail.com](mailto:samane.d1371@gmail.com)

۲- استادیار- دانشکده فنی و مهندسی، دانشگاه شهرکرد، شهرکرد، ایران  
[z.mobini@sku.ac.ir](mailto:z.mobini@sku.ac.ir)

**چکیده:** در این مقاله استفاده از هواپیمای بدون سرنشین برای بهبود امنیت لایه فیزیکی و نظارت بر یک شبکه مخابرات مشارکتی پیشنهاد شده است. به طور مشخص در سیستم پیشنهادی از هواپیمای بدون سرنشین به عنوان دیده‌بان قانونی برای نظارت بر لینک‌های ارتباطی مشکوک در یک شبکه رله کننده مشارکتی با پروتکل بازگشایی-و-ارسال استفاده شده است. بطوریکه هواپیمای بدون سرنشین با شنود اطلاعات ارسالی و/یا با فرستادن سیگنال‌های تداخلی، گیرنده یا رله غیرمجاز را به اشتباه وادار می‌کند و باعث افزایش نرخ استراق سمع در گره دیده‌بان می‌شود. بر اساس موقعیت قرارگیری هواپیمای بدون سرنشین و فاصله نسبی آن از فرستنده‌های مشکوک یعنی مبدا و رله، دو سناریو با هدف بهبود امنیت سیستم، به صورت تطبیقی پیشنهاد می‌شود: (۱) تداخل‌گر-شنودگر، (۲) شنودگر-کمک‌کننده/شنودگر-شنودگر-تداخل‌گر. در ادامه نرخ استراق سمع برای دو سناریو استخراج می‌شود و نشان داده می‌شود که سناریوهای پیشنهادی در این مقاله نسبت به روش‌های رایج بازدهی خیلی بهتری دارند. همچنین نشان می‌دهیم که، برای حصول بهترین بازدهی نرخ استراق سمع، هواپیمای بدون سرنشین باید وقتی که نزدیک به مبدا است سناریو ۲ را اجرا کند و بالعکس وقتی نزدیک به رله است سناریو ۱ را اجرا کند.

**واژه‌های کلیدی:** هواپیمای بدون سرنشین، دیده‌بان قانونی، نرخ استراق سمع، مخابرات مشارکتی.

نوع مقاله: پژوهشی

DOI: 10.29252/jiaeee.18.3.980

تاریخ ارسال مقاله: ۱۳۹۸/۶/۲۳

تاریخ پذیرش مشروط مقاله: ۱۳۹۹/۰۶/۲۰

تاریخ پذیرش مقاله: ۱۳۹۹/۷/۲

نام نویسنده‌ی مسئول: دکتر زهرا مبینی

نشانی نویسنده‌ی مسئول: ایران، شهرکرد، بلوار رهبر، دانشگاه شهرکرد، دانشکده فنی و مهندسی، گروه الکترونیک و مخابرات. کد پستی:

81186-34141

## ۱- مقدمه

مزیت استفاده از ایستگاه‌های هوایی، توانایی آن‌ها در ارایه ارتباطات از ارتفاع بالا با دید مستقیم یا  $LoS^A$  است. شبکه‌های رله کننده مشارکتی با کمک UAV نیز می‌تواند ارتباطات قابل اطمینانی برای کاربران زمینی فراهم کند و ظرفیت شبکه را به میزان زیادی افزایش دهد. در مقایسه با رله زمینی، رله هوایی قادر به دستیابی به بازده قابل توجهی است. به عبارت دیگر، رله هوایی با کمک بهینه‌سازی توان و ارتفاع قرار گیری قادر به بهبود بازدهی طیفی، توانی و امنیت شبکه است. یکی دیگر از تکنولوژی‌هایی که می‌تواند به بهبود بازدهی در شبکه‌های مخابرات مشارکتی کمک کند، استفاده از رله هوایی متحرک یا سیار است. در این حالت مسیر حرکت UAV به صورت پویا تنظیم می‌شود تا بازدهی ارتباط را از طریق پیدا کردن مسیر و موقعیت مکانی بهینه بهبود دهد. در مقایسه با رله ثابت، رله سیار دارای چندین مزیت کلیدی است. سیستم‌های رله سیار بر اساس تقاضا، مقرون به صرفه‌تر هستند و می‌تواند برای وقایع غیرمنتظره یا موقت مانند پاسخ اضطراری، عملیات نظامی و امنیتی بسیار سریع‌تر به کار گرفته شوند [۱۶]. هم‌چنین به منظور فراهم کردن ارتباط کوتاه مدت، استفاده موقتی از UAV به عنوان ایستگاه پایه هوایی یا رله در مقایسه با نصب موقت ایستگاه پایه زمینی یا رله سریع‌تر و ارزان‌تر است. علاوه بر این در مناطق یا کشورهایی که زیرساخت سلولی بسیار گران است، استفاده از هواپیماهای بدون سرنشین به عنوان رله سیار یا ایستگاه پایه هوایی بسیار مفید است، زیرا نیاز به برج‌ها و کابل‌ها را حذف می‌کند. هم‌چنین، تحرک بالای رله سیار همواره فرصت‌های جدیدی را برای بهبود عملکرد از طریق تنظیم پویای مکان‌های رله برای بهتر کردن محیط ارتباطی ارایه می‌دهد. این تکنیک به ویژه برای سرویس‌های تأخیر پذیر یا delay tolerant در شبکه [۱۷-۱۹] کاربرد بسیار دارد. به طور کلی استفاده از UAV به عنوان ایستگاه پایه هوایی باعث افزایش بازدهی، ظرفیت و پوشش‌دهی شبکه می‌شود و استفاده از آن اخیراً بسیار مورد استقبال قرار گرفته است [۲۰].

در زمینه امنیت لایه فیزیکی، استراق سمع کنندگان غیرقانونی زیادی وجود دارد که قصد دارند به اطلاعات محرمانه دست یابند؛ حتی مجرمان و توریست‌ها، می‌توانند تهدیدات مهمی برای امنیت ملی ایجاد کنند. بنابراین، برای جلوگیری از جرائم و حملات توریستی، برای سازمان‌های دولتی نظارت قانونی بر هرگونه لینک‌های مشکوک یک نیاز جدی است که رفتارهای غیرعادی را شناسایی کند. برای نظارت بر ارتباطات بی‌سیم، یک روش ساده روشی است که در آن دیده‌بان قانونی به راحتی به لینک‌های مشکوک گوش دهد. با این وجود، دیده‌بان قانونی ممکن است به طور کلی از فرستنده مشکوک دور باشد و اطلاعات را نتواند آشکارسازی کند. با توجه به اهمیت موضوع، مقالات زیادی وجود دارد که ارتباطات مشکوک را با استفاده از یک دیده‌بان قانونی مورد مطالعه قرار می‌دهند [۲۱-۲۳].

ارتباطات بی‌سیم یک ابزار کارآمد و راحت برای برقراری ارتباط بین مردم و دستگاه‌های بی‌سیم است. با این حال، با توجه به ماهیت بازپخش رسانه‌های بی‌سیم، ارتباطات بین آنها در معرض تهدید امنیتی قرار دارد و برقراری اتصالات قابل اعتماد در این شبکه‌ها یک کار چالش برانگیز است. امروزه ضرورت نظارت بر فعالیت‌های دستگاه‌های بی‌سیم به ویژه تهدیدات امنیتی افزایش یافته است. امنیت لایه فیزیکی<sup>۱</sup> به عنوان یک روش امیدوارکننده برای برقراری ارتباطات امن، در سال‌های اخیر توجه زیادی را به خود جلب کرده است [۶-۱]. در این میان تکنیک‌های مختلفی مانند ارسال نویز مصنوعی<sup>۲</sup> و سیگنال تداخل‌گر و روش‌های دیگر برای بهبود امنیت عملکرد لایه فیزیکی پیشنهاد شده است [۷-۸]. هم‌چنین ارتباطات بی‌سیم ممکن است توسط کاربران مخرب به منظور ارتکاب جرائم یا حملات تروریستی مورد سوءاستفاده قرار گیرد [۹]؛ بنابراین نیازهای رو به رشد برای سازمان‌های مجاز و قانونی مانند سازمان‌های دولتی در نظارت بر ارتباطات مشکوک برای اطمینان از امنیت و جلوگیری از حملات تروریست دیده می‌شود. در مقاله [۱۰-۱۲] یک الگوی جدیدی در امنیت بی‌سیم با بررسی این که چگونه دیده‌بان<sup>۳</sup> قانونی نظارت بر اطلاعات قانونی را انجام می‌دهد، پیشنهاد شده است. به طور خاص در این مقاله نویسندگان یک رویکرد جدیدی را پیشنهاد داده‌اند که در آن دیده‌بان قانونی به طور هدفمند سیگنال تداخل‌گر<sup>۴</sup> را برای دخالت در لینک مشکوک ارسال می‌کند. در مقاله [۱۳-۱۴] روش جدید دیگری در امنیت لایه فیزیکی پیشنهاد می‌شود که استراق سمع فعال<sup>۵</sup> و مداخله قانونی از طریق تکنیک‌هایی مانند تداخل یا حقه‌بازی<sup>۶</sup> باعث افزایش امنیت می‌شوند. برای استراق سمع فعال در مقاله [۱۵] رویکرد دیگری بر اساس حقه‌بازی پیشنهاد می‌شود. برای به حداکثر رساندن نرخ استراق سمع در این مقاله دو روش برای دیده‌بان قانونی طراحی شده است که می‌تواند به صورت سازگار به عنوان یک استراق سمع کننده اطلاعات، مخرب تداخل یا یک کمک کننده سازنده در دو بازه زمانی عمل کند. در هر سناریو، پرتو تداخل‌گر و قدرت تداخل‌گر بهینه استخراج می‌شوند. نتایج عددی در این مقاله نشان می‌دهد که سناریوهای پیشنهادی عملکرد بهتری نسبت به بسیاری از طرح‌های سنتی دارند. البته توجه داشته باشید که برای فعال کردن استراق سمع و تداخل‌گر به صورت هم‌زمان، دیده‌بان باید مجهز به دو آنتن باشد که یکی برای دریافت اطلاعات و دیگری برای ارسال است؛ برای بهبود امنیت می‌توان از ویژگی محو شدن در محیط بی‌سیم، نویز و تداخل استفاده کرد تا کاربر غیرمجاز را وادار به اشتباه کرد.

از طرف دیگر در سال‌های اخیر استفاده از هواپیماهای بدون سرنشین یا UAV<sup>۷</sup> به عنوان ایستگاه پایه هوایی یا رله هوایی برای بهبود اتصال و پوشش دستگاه‌های بی‌سیم زمینی در شبکه‌های مخابرات مشارکتی بسیار مورد توجه قرار گرفته است. در مقایسه با ایستگاه پایه زمینی،

مشارکتی، ایده استفاده از هواپیمای بدون سرنشین مطرح شده است. در شبکه های مبتنی بر هواپیمای بدون سرنشین، یکی از مهم ترین چالش ها، مدل سازی کانال های هوا به زمین یا زمین به هوا است که متفاوت با مدل سازی کانال های بیسیم زمینی مانند [۲۳] است. بنابراین مدل سازی کانال ها در این مقاله با مرجع [۲۳] کاملاً متفاوت است و منجر به روابط تحلیلی کاملاً متفاوت برای دو سیستم خواهد شد. از طرف دیگر با توجه به همه مزایای مهمی که برای سیستم های مبتنی بر هواپیمای بدون سرنشین اشاره شد، بررسی و تحلیل بازدهی سیستم نظارت قانونی مبتنی بر UAV ضروری به نظر می رسد. ضمن اینکه مدل سیستم نظارت قانونی مبتنی بر هواپیمای بدون سرنشین پیشنهادی در مقاله ما، دارای کاربردهای ویژه برای مکان های صعب العبور، شرایط وقوع بلا پای طبیعی، دیده بانی های موقت در بسیاری از عملیات های نظامی و تغییر پویای مکان دیده بان دارد. از طرف دیگر تا آنجا که نویسندگان این مقاله مطلع هستند، سیستم رله کننده مشارکتی با دیده بان قانونی مبتنی بر هواپیمای بدون سرنشین تا قبل از این مقاله تاکنون در هیچ مرجعی بررسی نشده است و نتایج آرایه شده در این مقاله می تواند به عنوان یک مرجع برای تحلیل های بعدی بر روی امنیت سیستم های مبتنی بر UAV قرار گیرد.

## ۲- مدل سیستم

در این مقاله یک سیستم ارتباطات بی سیم شامل یک گره مبدأ (S)، یک گره مقصد (D)، یک گره رله (R) و یک هواپیمای بدون سرنشین (UAV) در نظر گرفته می شود. سیستم ارتباطی مورد نظر در شکل ۱ نشان داده شده است. تمام گره ها مجهز به یک آنتن هستند. فرض شده است علاوه بر این که لینک مستقیمی از گره مبدأ (S) به گره مقصد (D) وجود دارد، گره مبدأ (S) با کمک یک گره رله (R) که پروتکل بازگشایی و ارسال DF را اتخاذ کرده است، با گره مقصد (D) ارتباط برقرار می کند. برای نظارت بر اطلاعات از UAV استفاده شده است که مانند یک دیده بان قانونی عمل می کند و سعی می کند پیام ارسالی از دو فرستنده مشکوک را شنود کند؛ بنابراین، UAV با استراق سمع کردن اطلاعات و با فرستادن سیگنال نویز و تداخل گیرنده غیرمجاز را به اشتباه وادار می کند. در این مقاله پروتکل اشتراک گذاری زمانی را در نظر می گیریم. به عبارتی کل زمان ارتباطی از دو بازه زمانی تشکیل شده است. در بازه زمانی اول منبع اطلاعات را می فرستد و رله گوش می دهد و سپس رله اطلاعات رمزگشایی شده را در بازه زمانی دوم به سمت مقصد می فرستد.

در این مقاله با توجه به مزایای بالقوه ای هواپیماهای بدون سرنشین در افزایش امنیت، سطح پوشش و بازدهی شبکه، طرح جدیدی برای استفاده از UAV به عنوان دیده بان قانونی آرایه می شود. به طور مشخص، در این مقاله برای اولین بار طرحی امن برای نظارت بر ارتباطات مشکوک و در معرض تهدید شبکه های رله کننده مشارکتی با کمک هواپیمای بدون سرنشین پیشنهاد می شود. در شبکه رله کننده مشارکتی مورد نظر یک گره مبدأ، یک گره مقصد، یک گره رله وجود دارد. در این شبکه علاوه بر این که لینک مستقیمی از گره مبدأ به گره مقصد وجود دارد، گره مبدأ با کمک گره رله (که پروتکل بازگشایی و ارسال DF<sup>۱</sup> را اتخاذ کرده است) با گره مقصد ارتباط برقرار می کند. برای نظارت بر اطلاعات ارسالی از مبدأ به مقصد، مبدأ به رله و رله به مقصد از UAV استفاده شده است که مانند یک دیده بان قانونی عمل می کند و سعی می کند پیام ارسالی از مبدأ و رله مشکوک را شنود کند. در این مقاله پروتکل اشتراک گذاری زمانی را در نظر می گیریم، به عبارتی کل ارتباط در دو فاز انجام می شود. در فاز اول (یا بازه زمانی اول) مبدأ اطلاعات را می فرستد و رله گوش می دهد و سپس رله اطلاعات رمزگشایی شده را در فاز دوم (یا بازه زمانی دوم) به سمت مقصد می فرستد. در طرح پیشنهادی ما UAV با استراق سمع کردن اطلاعات و با فرستادن سیگنال نویز و تداخل کاربر غیرمجاز را به اشتباه وادار می کند. به طور مشخص در این مقاله بر اساس موقعیت قرارگیری و فاصله دیده بان قانونی UAV از فرستنده های مشکوک

یعنی مبدأ و رله، برای هواپیمای بدون سرنشین دو استراتژی زیر با هدف بهبود امنیت سیستم، به صورت تطبیقی پیشنهاد می شود:

- ۱) تداخل گر-شنودگر، (۲) شنودگر-کمک کننده، شنودگر- شنودگر یا شنودگر-تداخل گر. در استراتژی اول هواپیمای بدون سرنشین در نقش تداخل گر در فاز اول ارسال و شنودگر در فاز دوم ارسال عمل می کند. در استراتژی دوم در فاز اول ارسال هواپیمای بدون سرنشین در نقش تداخل گر است و در فاز دوم بسته به کیفیت نسبی لینک های ارتباطی مشکوک و لینک شنود یکی از نقش های کمک کننده، شنودگر یا تداخل گر را خواهد داشت. نتایج شبیه سازی نشان می دهد که استراتژی های پیشنهادی در این مقاله به میزان زیادی نرخ استراق سمع<sup>۱</sup> و در نتیجه امنیت لایه فیزیکی شبکه مشارکتی را در مقایسه با روش های رایج بهبود می دهند.

لازم به ذکر است که در میان مراجع موجود تنها مقاله [۲۳] به بحث دیده بانی در شبکه های رله کننده مشارکتی پرداخته است. اما مدل سیستم مورد بررسی در مقاله [۲۳] برای کاربران زمینی است و استفاده از UAV در آن در نظر گرفته نشده است. اما به طور مشخص، در این مقاله بر خلاف مقاله [۲۳]، برای نظارت بر ارتباطات مشکوک و در معرض تهدید شبکه های رله کننده

کانال‌های متناظر با لینک‌های زمین به زمین  $S \rightarrow D$ ,  $S \rightarrow R$  و  $R \rightarrow D$  به ترتیب با  $h_{S,R}$ ,  $h_{S,D}$  و  $h_{R,D}$  نشان داده می‌شوند. همچنین فواصل اقلیدوسی بین زوج‌های لینک‌های  $S \rightarrow R$ ,  $S \rightarrow D$  و  $R \rightarrow D$  به ترتیب با نمادهای  $d_{S,R}$ ,  $d_{S,D}$ ,  $d_{R,D}$  نشان داده می‌شوند. توجه کنید که برای مدل سازی دقیق‌تر کانال‌های زمین به زمین فرض می‌شود که کانال‌های زمینی هم تحت تاثیر تلفات مسیر مقیاس بزرگ و هم فیدینگ رایلی مقیاس کوچک هستند [24]. به عنوان مثال کانال زمین به زمین  $h_{S,R}$  به صورت

$$h_{S,R} = \frac{1}{\sqrt{A^\alpha d_{SR}^\alpha}} f_{S,R} \quad (1)$$

است که در محیط‌های عملی مقدار آن بسته به جنس و نوع محیط انتشار در محدوده  $2 \leq \alpha \leq 6$  است [24]. بیانگر اثر فیدینگ رایلی است که به صورت متغیر تصادفی گوسی مختلط با میانگین صفر و واریانس یک مدل می‌شود. در این فرمول  $f_{S,R}$  و  $A = \left(\frac{4\pi f_c}{c}\right)^2$  فرکانس کریر و  $c$  سرعت نور است. لازم به ذکر است که با تغییر مناسب اندیس‌ها، سایر کانال‌های زمین به زمین نیز به همین صورت مدل می‌شوند.

در این مقاله برای مدل کردن کانال‌های هوا به زمین یا زمین به هوا از مدل کاربردی آماری استفاده می‌شود [25] و [26]. به طور مشخص در این مدل احتمال اینکه لینک ارتباطی بین UAV و کاربر زمینی در دید مستقیم باشد، بستگی به نوع محیط، ارتفاع پرواز UAV و زاویه فراز یا elevation angle بین UAV و کاربر زمینی دارد. به عنوان مثال تقریب احتمال LoS یعنی  $\text{Pr}_{LoS}$  برای لینک ارتباطی  $S \rightarrow UAV$  به صورت زیر بدست می‌آید [25] و [26]:

$$\text{Pr}_{LoS} = \frac{1}{1 + a \exp(-b[\theta_{S,UAV} - a])} \quad (2)$$

$$d_{S,UAV} = \sqrt{(x_S - x_{UAV})^2 + (y_S - y_{UAV})^2 + H^2} \quad (3)$$

$$\theta_{S,UAV} = \frac{180}{\pi} \sin^{-1} \left( \frac{H}{d_{S,UAV}} \right) \quad (4)$$

در رابطه بالا  $a$  و  $b$  عدد ثابت می‌باشند که وابسته به نوع محیط ارتباطی و فرکانس ارتباطی هستند.  $\theta_{S,UAV}$  زاویه فراز بین مبدا و UAV است.  $(x_S, y_S)$  بیانگر موقعیت مکانی مبدا است و  $(x_{UAV}, y_{UAV}, H)$  موقعیت مکانی UAV هستند که  $H$  ارتفاع پرواز UAV است. احتمال داشتن لینک دید غیر مستقیم NLoS یعنی  $\text{Pr}_{NLoS}$  به صورت

$$\text{Pr}_{NLoS} = 1 - \text{Pr}_{LoS}$$

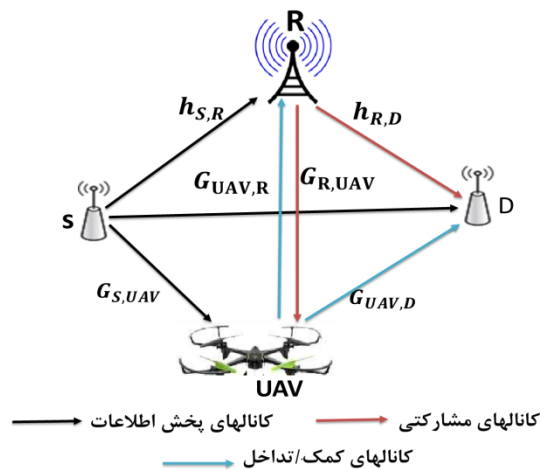
است؛ بنابراین رابطه نهایی کانال  $S \rightarrow UAV$  به صورت زیر به دست می‌آید [25] و [26]:

$$G_{S,UAV} = \left( pr_{LoS} d_{S,UAV}^\alpha + pr_{NLoS} \eta d_{S,UAV}^\alpha \right)^{-\frac{1}{2}} \quad (4)$$

که  $\eta$  ضریب تضعیف اضافی ناشی از اتصالات NLoS است. سایر کانال‌های هوا به زمین یا زمین به هوا یعنی  $G_{R,UAV}$  و  $G_{UAV,D}$  به همین صورت با تغییر مناسب اندیس‌ها بر اساس روابط (1) تا (4) محاسبه می‌شوند.

## ۲-۱- تعریف نرخ استراق سمع

نرخ استراق سمع یک معیار مهم در بحث امنیت لایه فیزیکی می‌باشد که هر چقدر مقدار بالاتری داشته باشد نشان می‌دهد که عملیات دیده‌بانی برای لینک‌های مشکوک در شبکه با بازدهی بهتری انجام



شکل (۱): مدل یک سیستم رله کننده مشارکتی با حضور UAV به عنوان دیده‌بان قانونی

همچنین کانال‌های زمین به هوا یا هوا به زمین متناظر با لینک‌های  $S \rightarrow UAV$ ,  $R \rightarrow UAV$  و  $S \rightarrow D$  به ترتیب با  $G_{S,UAV}$ ,  $G_{R,UAV}$  و  $G_{UAV,D}$  فواصل اقلیدوسی متناظر با این لینک‌ها به ترتیب با  $d_{S,UAV}$ ,  $d_{R,UAV}$  و  $d_{UAV,D}$  نمایش داده می‌شوند. تذکر اینکه به دلیل تقارن فرض می‌شود که کانال‌های دو لینک

از UAV استفاده شود. در حقیقت در طرح پیشنهادی UAV یا اطلاعات ارسالی از فرستنده‌های مشکوک را استراق سمع می‌کند و یا با فرستادن سیگنال نویز و تداخل کاربر غیرمجاز را به اشتباه وادار می‌کند و امنیت سیستم را بهبود می‌دهد. به طور مشخص در این مقاله بر اساس موقعیت قرارگیری و فاصله دیده‌بان قانونی UAV از فرستنده‌های مشکوک یعنی مبدأ و رله و کیفیت لینک‌های ارتباطی، برای هواپیمای بدون سرنشین دو استراتژی زیر با هدف بهبود نرخ استراق سمع پیشنهاد می‌شود:

(۱) تداخل‌گر-شنودگر (۲) شنودگر-کمک‌کننده / شنودگر-شنودگر/ شنودگر-تداخلگر. در استراتژی اول هواپیمای بدون سرنشین در نقش تداخل‌گر در فاز اول ارسال و شنودگر قانونی در فاز دوم ارسال عمل می‌کند. در استراتژی دوم در فاز اول UAV به‌عنوان شنودگر قانونی عمل می‌کند و در فاز دوم ارسال بسته به کیفیت نسبی لینک‌های ارتباطی مشکوک و لینک شنود، برای UAV یکی از نقش‌های کمک‌کننده، شنودگر یا تداخلگر در نظر گرفته می‌شود. در ادامه این دو استراتژی به‌طور دقیق بررسی می‌شوند و روابط سیگنال به تداخل و نویز و نرخ استراق سمع استخراج می‌گردد.

### ۳-۱- سناریو اول: تداخل‌گر-شنودگر

این سناریو زمانی قابل استفاده است که UAV از S نسبتاً دور است؛ بنابراین UAV در این سناریو نمی‌تواند استراق سمع کننده خوبی باشد؛ بنابراین در مرحله اول، S سیگنال اطلاعات را برای R و D ارسال می‌کند و به‌طور هم‌زمان UAV نویز مصنوعی را برای مختل کردن ارتباطات مشکوک می‌فرستد. سیگنال دریافتی در R به‌صورت زیر است:

$$y_R = \sqrt{P_S} h_{S,R} x + \sqrt{P_{UAV}} G_{UAV,R} x_J + n_R \quad (5)$$

که  $x$  و  $x_J$  به ترتیب نماد سیگنال اطلاعات و سیگنال تداخل با قدرت یک است و  $n_R$  نویز سفید جمع‌شونده<sup>۱۳</sup> (AWGNs) با توزیع گوسی با میانگین صفر و واریانس یک در گره رله است. گرهی رله پروتکل بازگشایی و ارسال DF را اتخاذ می‌کند. بنابراین بعد از دریافت سیگنال، ابتدا سیگنال  $x$  را رمزگشایی کرده و سپس سیگنال را به گرهی مقصد می‌فرستد؛ بنابراین سیگنال دریافتی در مقصد به‌صورت زیر است.

$$y_{D1} = \sqrt{P_S} h_{S,D} x + \sqrt{P_{UAV}} G_{UAV,D} x_J + n_{D1} \quad (6)$$

دقت کنید که  $P_S$  و  $P_{UAV}$  به ترتیب قدرت سیگنال ارسالی از S و UAV است.  $n_{D1}$  نویز سفید جمع‌شونده با توزیع گوسی با میانگین صفر و واریانس یک در گره مقصد است.

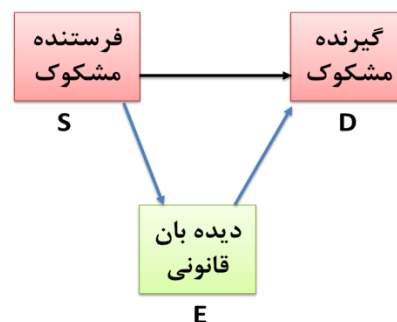
می‌شود. برای توضیح نرخ استراق سمع از شکل ۲ استفاده می‌کنیم. فرض کنید S یک فرستنده مشکوک و D یک گیرنده مشکوک باشد در حالی که E یک دیده‌بان قانونی است که بر سیستم نظارت می‌کند. حداکثر نرخ قابل حصول در لینک‌های مشکوک و لینک شنود یا دیده‌بانی به ترتیب عبارت است از

$$C_{SD} = \frac{1}{2} \min(\log(1 + SINR_R), \log(1 + SINR_D))$$

و

$$C_{SE} = \frac{1}{2} \log(1 + SINR_E)$$

دقت کنید که  $SINR_D$  و  $SINR_R$  به ترتیب نسبت سیگنال به نویز و تداخل<sup>۱۱</sup> (SINR) در مقصد و رله می‌باشند که با توجه به نوع سناریو بکار گرفته شده برای دیده‌بانی روابط متفاوتی خواهند داشت که در بخش بعد استخراج می‌شوند.  $SINR_E$  هم نسبت سیگنال به نویز<sup>۱۲</sup> (SNR) در دیده‌بان قانونی است. در این مقاله هواپیمای بدون سرنشین یا UAV نقش دیده‌بان قانونی را دارد و در بخش‌های بعدی این مقاله به جای نماد E از UAV استفاده خواهد شد. همچنین دقت کنید که فاکتور  $\frac{1}{2}$  در روابط به این دلیل است که کل ارتباط در دو بازه زمانی صورت می‌گیرد.



شکل (۲): یک سیستم نظارت قانونی شامل یک فرستنده S و گیرنده D مشکوک و دیده‌بان قانونی E [۱۱].

اگر رابطه  $C_{SE} \geq C_{SD}$  برقرار باشد مطمئن هستیم که دیده‌بان قانونی به‌خوبی اطلاعات را رمزگشایی می‌کند. بنابراین نرخ استراق سمع برابر خواهد بود با  $\mathcal{R} = C_{SD}$  [۲۳]. اگر  $C_{SE} \leq C_{SD}$  برقرار باشد برای دیده‌بان قانونی امکان بازگشایی اطلاعات بدون خطا وجود ندارد و در این حالت نرخ استراق سمع موثر برابر با  $\mathcal{R} = 0$  خواهد بود.

### ۳- بیان مسئله

در این مقاله پیشنهاد شده است که برای بهبود امنیت لایه فیزیکی و نظارت بر اطلاعات ارسالی از مبدأ به مقصد، مبدأ و رله به مقصد

در مرحله دوم، R ابتدا اطلاعات را از S رمزگشایی می کند و سپس اطلاعات رمزگشایی شده را ارسال می کند، درحالی که UAV سعی می کند سیگنال را از فاصله دوری شنود کند؛ بنابراین سیگنال دریافتی در D و UAV عبارت است از:

$$y_{D_2} = \sqrt{P_R} h_{R,D} x + n_{D_2} \quad (7)$$

$$y_{UAV} = \sqrt{P_R} G_{R,UAV} x + n_{UAV} \quad (8)$$

توجه کنید که  $P_R$  قدرت سیگنال ارسالی از رله است.  $n_{D_2}$  و  $n_{UAV}$  نویز سفید جمع شونده با واریانس یک و میانگین صفر در گره مقصد و گره UAV است. گره مقصد دو نسخه از سیگنال ارسالی را دریافت می کند و برای افزایش کیفیت سیگنال از روش ماکزیمم نرخ ترکیبی<sup>۱۴</sup> (MRC) برای ترکیب نسخه های دریافتی استفاده می کند؛ بنابراین نسبت سیگنال به نویز و تداخل در رله و مقصد به ترتیب به صورت زیر به دست می آید:

$$SINR_R = \frac{P_S |h_{S,R}|^2}{P_R |G_{UAV,R}|^2 + N_0} \quad (9)$$

$$SINR_D = \frac{P_S |h_{S,D}|^2}{P_{UAV} |G_{UAV,D}|^2 + N_0} + \frac{P_R |h_{R,D}|^2}{N_0} \quad (10)$$

و SNR در UAV برابر خواهد بود با:

$$SNR_{UAV} = \frac{P_R |G_{R,UAV}|^2}{N_0} \quad (11)$$

### ۳-۲- سناریو دوم: شنودگر-کمک کننده / شنودگر-شنودگر

برخلاف سناریو اول، در صورتی که کیفیت کانال S-UAV خوب باشد، یعنی S به UAV نزدیک باشد بهتر است که در فاز اول، UAV عملیات استراق سمع یا شنود را انجام دهد. در این حالت، در فاز اول S اطلاعات را به R و D منتشر می کند، درحالی که UAV سعی می کند اطلاعات را شنود کند. سیگنال دریافتی در R، D و UAV به ترتیب به صورت زیر است:

$$y_R = \sqrt{P_S} h_{S,R} x + n_R \quad (12)$$

$$y_{D_1} = \sqrt{P_S} h_{S,D} x + n_{D_1} \quad (13)$$

$$y_{UAV} = \sqrt{P_S} G_{S,UAV} x + n_{UAV} \quad (14)$$

سیگنال به نویز در R و UAV به صورت زیر نوشته می شود:

$$SNR_R = \frac{P_S}{N_0} |h_{S,R}|^2 \quad (15)$$

$$SNR_{UAV} = \frac{P_S}{N_0} |G_{S,UAV}|^2 \quad (16)$$

در فاز دوم ارسال اطلاعات، متناسب با کیفیت کانال مشکوک و کیفیت کانال استراق سمع، UAV می تواند برای بهبود نرخ استراق سمع یکی از نقش های کمک کننده / شنودگر / تداخلگر را داشته باشد. در ادامه به تفکیک هر کدام از این نقش ها توضیح داده می شود.

### ۳-۲-۱- عملیات اول- کمک کننده<sup>۱۵</sup>:

اگر رابطه  $SNR_R \leq SNR_{UAV}$  برقرار باشد، مطمئن هستیم که UAV به اطلاعات مشکوک دسترسی پیدا می کند و کانال مشکوک را به خوبی می تواند شنود کند. بنابراین به منظور بهبود نرخ استراق سمع، UAV به عنوان کمک کننده عمل می کند و تلاش می کند تا نرخ استراق سمع موثر را افزایش می دهد. سیگنال دریافتی در D به صورت زیر بیان می شود:

$$y_{D_2} = \sqrt{P_R} h_{R,D} x + \sqrt{P_{UAV}} G_{UAV,D} x + n_{D_2} \quad (17)$$

برای داشتن یک مقایسه عادلانه<sup>۱۶</sup> بین سناریوهای مختلف، ماکزیمم قدرت ارسالی در سناریو ۱ را به صورت  $0 \leq P_{UAV} \leq P$  محدود می کنیم. سیگنال به نویز متناظر در گره های R و D به ترتیب به صورت زیر به دست می آید:

$$SNR_D = \frac{P_S}{N_0} |h_{S,D}|^2 + \frac{P_R}{N_0} |h_{R,D}|^2 + \frac{P_{UAV}}{N_0} |G_{UAV,D}|^2 \quad (18)$$

$$SNR_R = \frac{P_S}{N_0} |h_{S,R}|^2 \quad (19)$$

### ۳-۲-۲- عملیات دوم: شنودگر

اگر رابطه  $SNR_R > SNR_{UAV}$  را داشته باشیم، مطمئن هستیم که UAV اطلاعات مشکوک را نمی تواند با موفقیت در فاز اول رمزگشایی کند، بنابراین UAV می تواند در فاز دوم به عنوان یک استراق سمع کننده یا شنودگر عمل کند و شنود لینک ها را ادامه دهد یا به عنوان یک تداخلگر عمل کند. اگر UAV به عنوان شنودگر



رفتار کند، سیگنال دریافتی در UAV و D به ترتیب به صورت زیر خواهد بود:

$$y_{D_2} = \sqrt{P_R} h_{R,D} x + n_{D_2} \quad (20)$$

و

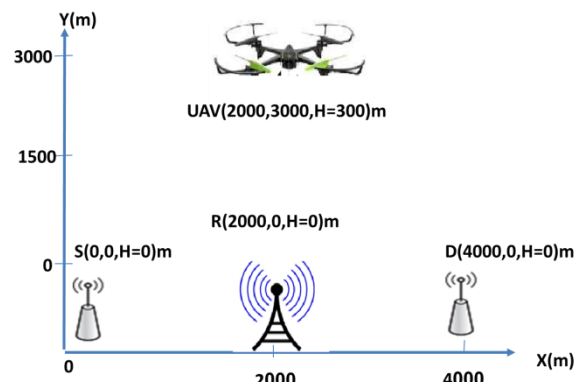
$$y_{UAV} = \sqrt{P_R} G_{R,UAV} x + n_{UAV} \quad (21)$$

برای بهبود آشکارسازی سیگنال، UAV روش ترکیب سیگنال MRC را برای ترکیب دو سیگنال دریافتی در دو بازه زمانی به کار می‌گیرد. بنابراین سیگنال به نویز در رله، گره مقصد و UAV به ترتیب برابر خواهند بود با:

$$SNR_R = \frac{P_S}{N_0} |h_{S,R}|^2 \quad (22)$$

$$SNR_D = \frac{P_S}{N_0} |h_{S,D}|^2 + \frac{P_R}{N_0} |h_{R,D}|^2 \quad (23)$$

$$SNR_{UAV} = \frac{P_S}{N_0} |G_{S,UAV}|^2 + \frac{P_R}{N_0} |G_{R,UAV}|^2 \quad (24)$$



شکل (۳): موقعیت قرارگیری S, R, D و UAV روی محور X-Y

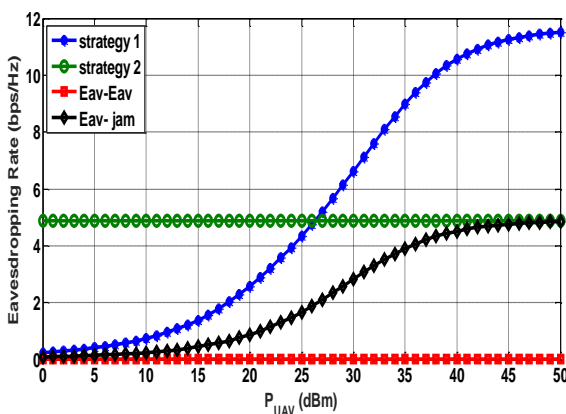
$$SNR_R = \frac{P_S}{N_0} |h_{S,R}|^2 \quad (26)$$

$$SNR_D = \frac{P_S}{N_0} |h_{S,D}|^2 + \frac{P_R |h_{R,D}|^2}{P_{UAV} |G_{UAV,D}|^2 + N_0} \quad (27)$$

$$SNR_{UAV} = \frac{P_S}{N_0} |G_{S,UAV}|^2 \quad (28)$$

#### ۴- نتایج شبیه‌سازی

در این بخش، نتایج شبیه‌سازی را برای ارزیابی عملکرد سناریوها ارائه می‌دهیم. مقادیر پارامترها براساس استاندارد 3GPP LTE می‌باشند [27]. فرکانس کریر ۵GHZ، پهنای باند ۵MHz، چگالی نویز سفید ۱۷۴dBm/HZ، قدرت ارسالی S و R برابر ۴۰dBm و ضریب تلفات فضای آزاد  $\alpha=3$  در نظر گرفته شده است. در این مقاله مقادیر پارامترهای a و b بر اساس مراجع [25] و [26] به ترتیب برابر با  $a=11/95$  و  $b=0/136$  تنظیم شده است. موقعیت قرارگیری مبدا، رله، مقصد و UAV در شکل ۳ نشان داده شده است، که بر اساس آنها



شکل (۴): مقایسه نرخ استراق سمع دو سناریو بر حسب قدرت UAV

پارامترهای کانال و در نتیجه مقادیر سیگنال به نویز یا سیگنال به نویز و تداخلها محاسبه می‌گردد.

برای مقایسه، بازدهی دو روش رایج و مرسوم در مقالات را به عنوان مرجع نیز بررسی کردیم. این دو روش عبارتند از شنود-تداخل (Jam-Eav) و شنود-شنود (Eav-Eav). در سناریو اول، UAV در فاز اول ارسال به عنوان تداخل‌گر و در فاز دوم به عنوان شنودگر عمل می‌کند. در سناریو دوم در هر دو فاز ارسال UAV به عنوان شنودگر عمل می‌کند.

شکل ۴ نرخ استراق سمع را بر حسب توان UAV نشان می‌دهد. تفاوت عملکرد بین سناریو اول و دوم به شدت به توپولوژی شبکه و پارامترهای عملیاتی وابسته است. برای سیستم در نظر گرفته شده در

#### ۳-۲-۳- عملیات سوم: تداخل‌گر

در این حالت، UAV برای تخریب لینک مشکوک به عنوان تداخل‌گر عمل می‌کند و سیگنال تداخل می‌فرستد؛ بنابراین، احتمال استراق سمع موفق بهبود پیدا می‌کند. سیگنال دریافتی در گره مقصد مطابق زیر است:

$$y_{D_2} = \sqrt{P_R} h_{R,D} x + \sqrt{P_{UAV}} G_{UAV,D} s + n_{D_2} \quad (25)$$

بنابراین سیگنال به نویز در رله، سیگنال به نویز و تداخل در گره مقصد و سیگنال به نویز در UAV به ترتیب برابر خواهند بود با:

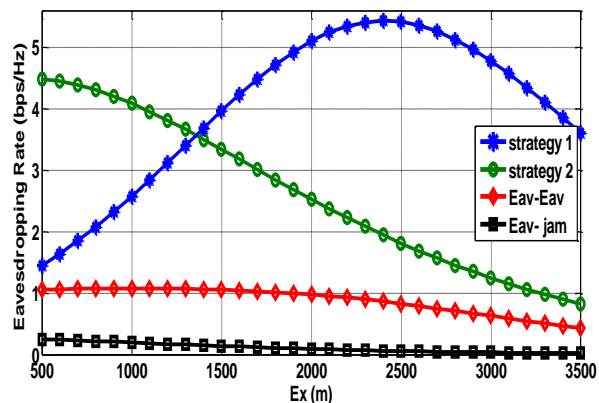
استراتژی تطبیقی با هدف بهبود امنیت سیستم پیشنهاد گردید. نرخ استراق سمع در محل دیده بان قانونی برای دو سناریو استخراج شد و نشان داده شد که این دو سناریوی پیشنهادی نسبت به روش‌های مرجع موجود بازدهی خیلی بهتری دارند. همچنین نشان داده شد که برای حصول بهترین نرخ استراق سمع، از موقعیت دیده بان قانونی می‌توان به‌عنوان یک معیار ساده برای تعیین سناریو مناسب استفاده کرد.

## ۶- مراجع

- [1] Y. Zou, J. Zhu, X. Wang, and V. Leung, "Improving physical-layer security in wireless communications using diversity techniques," *IEEE Network*, vol. 29, no. 1, pp. 42–48, Jan. 2015.
- [2] F. Al-Qahtani, C. Zhong, and H. M. Alnuweiri, "Opportunistic relay selection for secrecy enhancement in cooperative networks," *IEEE Trans. Commun.*, vol. 63, no. 5, pp. 1756–1770, May 2015.
- [3] S. Gong, C. Xing, Z. Fei, and J. Kuang, "Resource allocation for physical layer security in heterogeneous network with hidden eavesdropper," *China Commun.*, vol. 13, no. 3, pp. 82–95, Mar. 2016.
- [4] X. Jiang, C. Zhong, X. Chen, T. Q. Duong, T. A. Tsiftsis, and Z. Zhang, "Secrecy performance of wirelessly powered wiretap channels," *IEEE Trans. Commun.*, vol. 64, no. 9, pp. 3858–3871, Sep. 2016.
- [5] Y. Zou, J. Zhu, X. Wang, and L. Hanzo, "A survey on wireless security: Technical challenges, recent advances, and future trends," *Proc. IEEE*, vol. 104, no. 9, pp. 1727–1765, Sep. 2016.
- [6] J. Zhu, W. Xu, and N. Wang, "Secure massive MIMO systems with limited RF chains," *IEEE Trans. Veh. Technol.*, vol. 66, no. 6, pp. 5455–5460, Jun. 2017.
- [7] محسن نصری، محمد جواد صابر، سید محمد سجاد صدوق، دکتر محمد ترابی "ارزیابی عملکرد محرمانگی شبکه رله‌ای بافردار رادیوشناختی در کانال‌های محوشدگی رایلی"، *مجله مهندسی برق و الکترونیک ایران*، جلد ۱۶ شماره ۴، ۱۱۳–۱۲۱، ۱۳۹۸.
- [8] علیرضا بقائی پوری، محمد ترابی "بهبود امنیت لایه فیزیکی در سیستم کدکننده زمان-فضا مبتنی بر مدل تعمیم یافته Alamouti"، *مجله مهندسی برق و الکترونیک ایران*، جلد ۱۷ شماره ۱، ۹–۱، ۱۳۹۹.
- [9] D. Wang, P. Ren, Q. Du, Y. Wang, and L. Sun, "Secure cooperative transmission against jamming-aided eavesdropper for ARQ based wireless networks," *IEEE Access*, vol. 5, pp. 3763–3776, 2017.
- [10] J. Xu, L. Duan, and R. Zhang, "Surveillance and intervention of infrastructure-free mobile communications: A new wireless security paradigm," *IEEE Wireless Commun.*, vol. 24, no. 4, pp. 152–159, Aug. 2017.
- [11] J. Xu, L. Duan, and R. Zhang, "Proactive eavesdropping via jamming for rate maximization over Rayleigh fading channels," *IEEE Wireless Commun. Lett.*, vol. 5, no. 1, pp. 80–83, Feb. 2016.
- [12] J. Xu, L. Duan, and R. Zhang, "Proactive eavesdropping via cognitive jamming in fading channels," in *Proc. IEEE*

این شبیه‌سازی، سناریو اول در مقایسه با سناریو دوم برای توان تداخل‌گر کم عملکرد بدتری دارد. در حالی که برای محدوده‌هایی که توان تداخل‌گر به اندازه کافی زیاد است سناریو اول عملکرد بهتری خواهد داشت.

در شکل ۵، نرخ استراق سمع سناریو اول و سناریو دوم و دو سناریو مرجع برحسب موقعیت محور  $X$  دیده بان قانونی UAV که با  $E_x$  نشان داده می‌شود، رسم شده است. همان‌طور که مشاهده می‌شود وقتی UAV از  $S$  دور می‌شود، نرخ استراق سمع سناریو دوم کاهش می‌یابد. این رفتار قابل پیش بینی است زیرا وقتی فاصله UAV و  $S$  زیاد می‌شود بازدهی استراق سمع کاهش می‌یابد (سیگنال شنود دریافتی در UAV ضعیف می‌شود). برعکس، بازدهی سناریو اول با افزایش  $E_x$  ابتدا افزایش می‌یابد و سپس کاهش پیدا می‌کند. یعنی یک نقطه بهینه برای مکان قرار گیری UAV از نظر بازدهی نرخ استراق سمع وجود دارد. این نقطه باید به رله نزدیک باشد. دلیل این امر این است که وقتی UAV به رله نزدیک است می‌تواند عملیات‌های شنود و تداخل را به صورت موثر و با بازدهی خوبی انجام دهد. بنابراین، به‌عنوان یک معیار مهم برای تصمیم‌گیری، UAV باید وقتی که نزدیک به مبدا است سناریو ۲ را اجرا کند و وقتی نزدیک به رله است سناریو ۱ را اجرا کند تا بهترین بازدهی را سیستم از نظر نرخ استراق سمع داشته باشد.



شکل (۵): نمودار نرخ استراق سمع در مقابل موقعیت دیده بان قانونی (UAV)

## ۵- نتیجه‌گیری

در شبکه‌های بی‌سیم امکان نفوذ و برقراری ارتباط توسط افراد غیرمجاز و مخرب بسیار زیاد است. در سال‌های اخیر یک الگو جدید در بحث امنیت لایه فیزیکی برای شبکه‌های بی‌سیم پیشنهاد شده است که در آن دیده بان قانونی نظارت بر ارسال اطلاعات را انجام می‌دهد. در این مقاله با توجه به پیشرفت‌ها و پتانسیل‌های زیادی که در زمینه هواپیماهای بدون سرنشین وجود دارد، پیشنهاد شد که از UAV برای دیده بانی شبکه مخابرات مشارکتی با ارتباطات مشکوک به منظور مقابله با تهدیدهای امنیتی استفاده شود. بر اساس موقعیت قرارگیری UAV و فاصله نسبی آن از فرستنده‌های مشکوک یعنی مبدا و رله، دو



## زیرنویس‌ها

- <sup>1</sup> Physical layer security
- <sup>2</sup> Artificial Noise
- <sup>3</sup> Monitoring
- <sup>4</sup> Jammer
- <sup>5</sup> Proactive Eavesdropping
- <sup>6</sup> spoofing
- <sup>7</sup> Unmanned Aerial Vehicle (UAV)
- <sup>8</sup> Line-of-Sight (LoS)
- <sup>9</sup> Decode and Forward (DF)
- <sup>10</sup> Eavesdropping rate
- <sup>11</sup> Signal to noise plus interference (SINR)
- <sup>12</sup> Signal noise interference (SNR)
- <sup>13</sup> Additive white Gaussian noises (AWGNs)
- <sup>14</sup> Maximum ratio combining(MRC)
- <sup>15</sup> helping
- <sup>16</sup> fairness

- Intl. Conf. Commun. (ICC), Kuala Lumpur, Malaysia, pp. 1–6, May 2016.
- [13] J. Xu, L. Duan, and R. Zhang, “Fundamental rate limits of physical layer spoofing,” *IEEE Wireless Commun. Lett.*, vol. 6, pp. 154–157, Apr. 2017.
  - [14] C. Zhong, X. Jiang, F. Qu, and Z. Zhang, “Multi-antenna wireless legitimate surveillance systems: Design and performance analysis,” *IEEE Trans. Wireless Commun.*, vol. 16, pp. 4585–4599 July 2017.
  - [15] Y. Zeng and R. Zhang, “Wireless information surveillance via proactive eavesdropping with spoofing relay,” *IEEE J. Sel. Topics Signal Process.*, vol. 10, no. 8, pp. 1449–1461, Dec. 2016.
  - [16] A. Merwaday and I. Guvenc, “UAV assisted heterogeneous networks for public safety communications,” in *Proc. IEEE Wireless Commun. Netw. Conf. (WCNC)*, pp. 329–334, 9-12 Mar, 2015.
  - [17] B. Pearre and T. X. Brown, “Model-free trajectory optimization for wireless data ferries among multiple sources,” in *Proc. IEEE Global. Commun. Conf. (GLOBECOM)*, Miami, FL, pp. 1793–1798, Dec. 2010.
  - [18] Z. Zhang, “Routing in intermittently connected mobile ad hoc networks and delay tolerant networks: overview and challenges,” *IEEE Commun. Surv Tuts.*, vol. 8, no. 1, pp. 24–37, Jan. 2006.
  - [19] M. J. Khabbaz, C. M. Assi, and W. F. Fawaz, “Disruption-tolerant networking: A comprehensive survey on recent developments and persisting challenges,” *IEEE Commun. Surv. Tut.*, vol. 14, no. 2, pp. 607–640, 2012.
  - [20] I. Bucaille, S. Hethuin, A. Munari, R. Hermenier, T. Rasheed, and S. Allsopp, “Rapidly deployable network for tactical applications: Aerial base station with opportunistic links for unattended and temporary events absolute example,” in *Proc IEEE Military Commun. Conf. (MILCOM)*, San Diego, CA, USA, Nov. 2013.
  - [21] Z. Mobini, B. K. Chalise, M. Mohammadi, H. A. Suraweera, and Z. Ding “Proactive Eavesdropping Using UAV Systems with Full-Duplex Ground Terminal,” in *Proc. IEEE Intl conf. commun. (ICC)*, 2018.
  - [22] D. Hu, Q. Zhang, P. Yang, and J. Qin, “Proactive monitoring via jamming in amplify-and-forward relay networks,” *IEEE Signal Process. Lett.*, vol. 24, pp. 1714–1718, 2017.
  - [23] X. Jiang, H. Lin, C. Zhong, X. Chen, Z. Zhang, “Proactive eavesdropping in relaying systems,” *IEEE Signal Process. Lett.*, vol. 24, no. 6, pp. 917-921, Jun. 2017 .
  - [24] T. S. Rappaport, “Wireless Communications: Principles and Practice,” 2nd ed. NJ: Prentice Hall, 2001.
  - [25] R. Yaliniz, A. El-Keyi, and H. Yanikomeroglu, “Efficient 3-D placement of an aerial base station in next generation cellular networks,” in *Proc. of IEEE Intl. Conf. Commun. (ICC)*, Kuala Lumpur, Malaysia, May. 2016.
  - [26] M. Mozaffari, W. Saad, M. Bennis and M. Debbah, “Mobile Unmanned Aerial Vehicles (UAVs) for Energy-Efficient Internet of Things Communications,” *IEEE Trans. Wireless Commun.*, vol. 16, no. 11, pp. 7574-7589, Nov. 2017.
  - [27] Z. Ding, Y. Liu, J. Choi, Q. Sun, M. Elkashlan, C.-L. I, and H. V. Poor, “Application of non-orthogonal multiple access in LTE and 5G networks,” *IEEE Commun. Mag.*, vol. 55, pp. 185–191, Feb. 2017.